

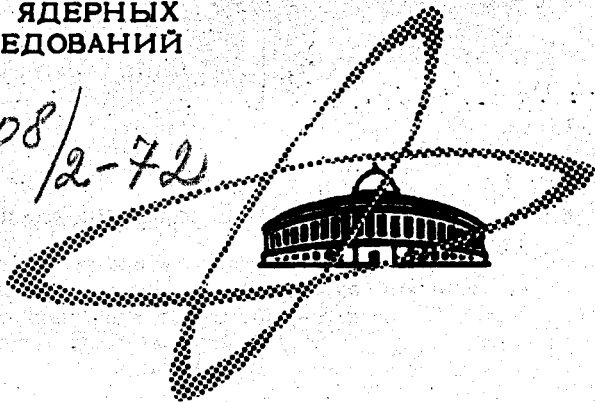
99, 1972, т. 16, том 6, с. 1294-1296  
24/11-72

С-902  
ОБЪЕДИНЕННЫЙ  
ИНСТИТУТ  
ЯДЕРНЫХ  
ИССЛЕДОВАНИЙ

Дубна

2508/2-72

Р4 с 6475



Ю.С. Суровцев, Ф.Г. Ткебучава

КВАЗИПОРОВОЕ ПОВЕДЕНИЕ АМПЛИТУДЫ  
ПРОЦЕССА  $\pi + N \rightarrow N + (\gamma \text{ - ВОРТУАЛЬНЫЙ})$

ОТДЕЛ НОВЫХ МЕТОДОВ УСКОРЕНИЯ  
ЛАБОРАТОРИЯ ТЕОРЕТИЧЕСКОЙ ФИЗИКИ

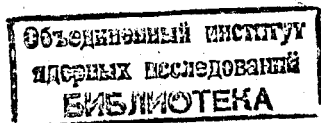
1972

P4 - 6475

Ю.С. Суровцев, Ф.Г. Ткебучава\*

КВАЗИПороГОВОЕ ПОВЕДЕНИЕ АМПЛИТУДЫ  
ПРОЦЕССА  $\pi_1 + N \rightarrow N + (\gamma \text{-ВИРТУАЛЬНЫЙ})$

*Направлено в ЯФ*



---

\* Тбилисский государственный университет

Амплитуда процесса  $\pi + N \rightarrow N + (\gamma \text{ виртуальный})$  связана с наблюдаемыми процессами рождения  $e^+e^-$  и  $\mu^+\mu^-$  пар в  $\pi N$ -столкновениях, интерес к которым, в основном, вызван возможностью исследования электромагнитных формфакторов пионов и нуклонов во времениподобной области инвариантных передач ( $\lambda^2 > 0$ ). Однако подобно случаю электророждения пионов ( $\lambda^2 > 0$ ) определение значений формфакторов затрудняется зависимостью результатов от используемой модели. Например, данные по электрическому формфактору пиона дают значительный разброс для электромагнитного радиуса <sup>/1/</sup>. По этой причине сведения о формфакторах нельзя считать надежными, если в сечение процесса основной вклад дает неборновская часть амплитуды, которая, как правило, не описывается однозначно.

В настоящей работе показано, что для процесса рождения лептонных пар в  $\pi N$ -столкновениях можно осуществить ситуацию, когда сечение определяется в основном борновскими членами амплитуды, остальная же часть дает лишь малые поправки.

Дифференциальное сечение процесса  $\pi + N \rightarrow N + (\gamma \text{ виртуальный})$  можно представить в виде <sup>/2/</sup>:

$$\lambda^2 \frac{d^2 \sigma}{d\lambda^2 d\cos\theta} = \frac{a}{3\pi} \left( \frac{d\sigma^T}{d\cos\theta} + \frac{d\sigma^L}{d\cos\theta} \right), \quad (1)$$

где два члена в правой части соответствуют рождению виртуального фотона с поперечной и продольной поляризацией;  $a$  — постоянная тонкой структуры,  $\theta$  — угол рассеяния в системе центра масс,  $\lambda$  — "масса" виртуального фотона.

Рассмотрим поперечную часть формулы (1). Сечение зависит от инвариантных переменных  $s$ ,  $t$ ,  $\lambda^2$ , где  $s$  и  $t$  — обычные мандельштамовские переменные. При фиксированном  $s$  максимальное значение  $\lambda$  равно  $\lambda_m = \sqrt{s} - M$ , где  $M$  — масса нуклона, поэтому при заданном  $s$  рождение фотона с  $\lambda = \lambda_m$  можно рассматривать как пороговое рождение. В силу этого процесс в окрестности этой точки мы называем квазипороговым. В системе центра масс при  $\lambda \rightarrow \lambda_m$  импульс виртуального фотона  $k \rightarrow 0$ , поэтому мы можем разложить сечение в ряд по  $k$ :

$$\frac{g}{k} \frac{d\sigma^T}{d\Omega} = \sigma_0 + k\sigma_1 + k^2\sigma_2 + \dots, \quad (2)$$

где  $g$  — импульс  $\pi$ -мезона,  $\Omega$  — телесный угол.

Рассмотрим коэффициенты разложения  $\sigma_1$ . Первый член равен квадрату модуля амплитуды в точке  $k = 0$ . Поскольку в этом случае полный момент виртуального фотона  $J = 1$ , орбитальный момент начальной системы в силу сохранения полного момента принимает значения  $\ell = 0, 1, 2$ . Из сохранения четности следует, что  $\ell = 0, 2$  соответствует электрическим диполям  $E_{0+}$  и  $E_{2-}$ , а  $\ell = 1$  — магнитным диполям  $M_{1+}$  и  $M_{1-}$ . Однако в точке  $k = 0$  эти последние исчезают, и  $\sigma_0$  зависит только от  $E_{0+}$  и  $E_{2-}$ .

Выясним теперь зависимость от мультиполей следующих членов и покажем, что ряд (2) конечен. Если обозначить амплитуду испускания поперечных фотонов буквой  $\mathcal{F}$ , то сечение в с.ц.м. запишется следующим образом:

$$\frac{q}{k} \frac{d\sigma^T}{d\Omega} = |\langle \ell | \mathcal{F} | i \rangle|^2, \quad (3)$$

где

$$\mathcal{F} = \sum_{i=1}^4 O_i \mathcal{F}_i(s, t, \lambda^2). \quad (4)$$

Здесь  $O_i$  - структурные коэффициенты, а  $\mathcal{F}_i$  - скалярные амплитуды (см., например, <sup>/3/</sup>). Из принципа взаимности разложения амплитуд  $\mathcal{F}_i$  по мультиполям совпадают с формулами для реального фоторождения <sup>/4/</sup>, которые в дальнейшем мы будем записывать условно в виде

$$\mathcal{F}_i = \sum_{\ell} \{ E_{\ell_{\pm}}, M_{\ell_{\pm}}, P_{\ell}(\cos \theta) \}. \quad (5)$$

С другой стороны, амплитуды  $\mathcal{F}_i$  разложим в окрестности малых  $k$  в ряд по степеням  $k$ :

$$\mathcal{F}_i = \sum_{n=0}^{\infty} k^n \rho_n(s, t). \quad (6)$$

Воспользуемся теперь поведением мультиполей при малых  $k$ , которое легко получить, если решить уравнения (5) относительно мультиполей и учесть свойства полиномов Лежандра:

$$\begin{aligned} M_{\ell_{\pm}} &\sim k^{\ell}, \quad \ell \geq 1, \\ E_{\ell_{+}} &\sim k^{\ell}, \quad \ell \geq 0, \\ E_{\ell_{-}} &\sim k^{\ell-2}, \quad \ell \geq 2. \end{aligned} \quad (7)$$

Тогда, выделяя явно зависимость мультиполей от  $k$  при малых  $k$ , запишем (5) в виде:

$$f_i = \sum_{\ell=0}^{\infty} k^{\ell} \{ E_{\ell+}, M_{\ell+}, P_{\ell}(\cos \theta) \} + \sum_{\ell=2}^{\infty} k^{\ell-2} \{ E_{\ell-}, P_{\ell}(\cos \theta) \}. \quad (8)$$

Сравнивая формулы (8) и (6), получаем:

$$\begin{aligned} \ell_0 &= \{ E_{0+}, E_{2-} \}_{k=0}, \\ \ell_1 &= \{ E_{1+}, M_{1+}, E_{3-}, \cos \theta \}_{k=0}, \\ &..... \\ \ell_n &= \{ E_{n+}, M_{n+}, E_{n+2-}, \cos \theta \}_{k=0}. \end{aligned} \quad (9)$$

Таким образом, мы видим, что в  $n$ -ый член разложения (6) дают вклады мультиполи с орбитальными моментами  $\ell = n, n + 2$ . Если теперь учесть, что при фиксированном орбитальный момент ограничен некоторым максимальным значением из-за короткодействия ядерных сил, то ряд (6) оказывается конечным, и, следовательно, справедливо разложение (2). Из формул (9) очевидно также сделанное выше заключение, что при  $k = 0$  сечение зависит от электрических диполей  $E_{0+}$  и  $E_{2-}$ .

Из фоторождения заряженных  $\pi$ -мезонов на нуклонах известно, что электрические диполи  $E_{0+}$  и  $E_{2-}$  в широком интервале энергий от порога до второго  $\pi N$ -резонанса в основном определяются борновскими членами и слабо зависят от эффектов перерасеяния /5/.

Этот факт доминирующей роли борновских членов в указанных электрических мультиполях на языке дисперсионных соотношений объясняется малым вкладом в дисперсионный интеграл резонансного магнитного диполя  $M_{1+}$ . В статическом же пределе этот вклад полностью исчезает /6/.

Запишем дисперсионное соотношение для электрических мультиполей:

$$E_{\ell}(s, \lambda^2) = E_{\ell}^{\text{борн.}}(s, \lambda^2) + \frac{P}{\pi(M+\mu)^2} \int_0^{\infty} ds' \frac{\text{Im} E_{\ell}(s', \lambda^2)}{s' - s} + R_{\ell}(s, \lambda^2), \quad (10)$$

где  $R_{\ell}(s, \lambda^2)$  обозначает вклад перекрестного канала и несингулярные вклады прямого канала.

Для мультиполей  $E_{0+}$  и  $E_{2-}$  два последних члена в (10) при  $\lambda^2 = 0$  составляют менее 10% от основного борновского члена для энергий в области первого  $\pi N$ -резонанса. Это положение сохраняется и в случае  $\lambda^2 > 0$ , если предположить, что все динамические особенности по  $\lambda^2$  содержатся в формфакторах и что ближайшие особенности при  $\lambda^2 > 0$  нам известны. Как показывают оценки, эффекты перераспределения не меняют существенно зависимость от  $\lambda^2$ . Это легко объяснить тем, что взаимодействие в конечном состоянии зависит от фаз  $\pi N$ -рассеяния, которые являются функциями только энергий.

Из вышеизложенного следует, что в фазовом пространстве для процесса рождения лептонных пар существует точка, соответствующая значениям  $k = 0$ ,  $\lambda = \lambda_m$ , в окрестности которой сечение процесса почти полностью определяется борновскими членами, т.е.

$$\lim_{k \rightarrow 0} \frac{q}{k} \frac{d\sigma_T}{d\Omega} \approx \sigma_0^{\text{борн.}} = 2 |E_{0+}^{\text{борн.}}|^2 + 4 |E_{2-}^{\text{борн.}}|^2. \quad (11)$$

Из формулы (11) следует практическая рекомендация для наиболее надежного способа определения формфакторов: при различных полных энергиях измерять сечение в окрестности максимальных "масс" виртуального фотона. Следует отметить, что эта область фазового пространства выгодна и с кинематической точки зрения, поскольку максимальные значения "массы" виртуального фотона соответствуют большим значениям импульсов лептонов, легче регистрируемых в этих условиях.

Авторы благодарны В.А.Мешерякову, С.М.Биленькому, Л.Л.Неменову и С.Б.Герасимову за полезные обсуждения.

#### Литература

1. С.Ф. Бережнев, Л.С. Вертоградов, А.В. Демьянов, А.В. Куликов, А.В. Купцов, Г.Г. Мкртчян, Л.Л. Неменов, Г.И. Смирнов, Д.М. Хазинс, Ю.М. Чиркин. ОИЯИ, P1-6197, Дубна, 1971.
2. J.P.Loubaton and J.Tran Thanh Van, Nucl. Phys., B2, 342 (1967); Ю.С. Суровцев, Ф.Г. Ткебучава. ОИЯИ, P2-4524, Дубна, 1969.
3. Ph.Dennery, Phys. Rev., 124, 2000 (1961).
4. N.Zagury, Phys. Rev., 145, 1112 (1966).
5. W.Schmidt, Z.Phys., 182, 76 (1964).
6. G.F.Chew, M.L.Goldberger, F.Low and Y.Nambu, Phys. Rev., 106, 1345 (1957).

Рукопись поступила в издательский отдел  
25 мая 1972 года.